

**PIXSTART**  
**Richard BARRE**  
10 RUE LABEDA  
31100 TOULOUSE

**Référence laboratoire:** 25/1-169995

**#Données fournies par le client:**

Nom du point de prélèvement : 46605 -ETANG  
AMIRAL MERVEILLEUX DU VIGNAUX lac de viry  
chatillon 48.6727379 2.3886098  
Type de prélèvement : Ponctuel

Localisation :

Lieu de prélèvement : Lacs de Viry-Châtillon 15 Av.  
du Général de Gaulle 91170 VIRY CHATILLON  
|-----|

Code du lieu de prélèvement : 46605 -ETANG  
AMIRALMERVEILLEUX DU VIGNAUX lac de viry  
chatillon48.6727379 2.3886098

Point de prélèvement :

Alias compta :

**Nature de l'échantillon:** Eau de baignade naturelle

**Usage:**

Hydrologie\_Eau de baignade (plan d'eau douce)

**Nombre d'unités :** 10

**Température à réception:** 4.6°C

**Date de prélèvement:** 06/08/2025 09:05:00

**Prélevé par:**

Mme Ngolet Guitsoutsous - Phytocontrol

**Méthode de prélèvement:** -

**Date de réception:** 07/08/2025 08:44:14

**Date d'enregistrement:** 07/08/2025 08:56:56

**Date de mise en analyse:** 07/08/2025 09:44:14

**Agence régionale:** Phytocontrol Toulouse

**Motif de prélèvement:** Surveillance planifiée

**Transport:** Phytocontrol Lyon - TCS

**Numéro du PSV:**

46605 -ETANG AMIRALMERVEILLEUX DU  
VIGNAUX lac de viry chatillon48.6727379  
2.3886098

**Nom du PSV:**

46605 -ETANG AMIRAL MERVEILLEUX DU  
VIGNAUX lac de viry chatillon 48.6727379  
2.3886098

**Coordonnées GPS du point:** 0.000000,0.000000

**Flaconnage:** Phytocontrol

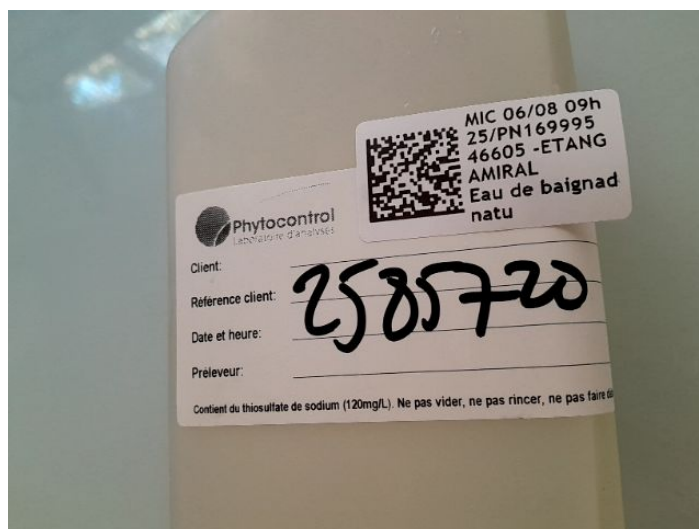
**Référence de devis:** CW2500635

**Analyse(s) demandée(s):**

Analyses

PACK EPT Grand Orly Seine Bièvre - Lacs de Viry-Châtillon +  
Cyanobactéries

### Echantillon à réception :



## Informations de prélèvement

<b>Affichage du précédent bulletin d'analyse sur site:</b> Absence	<b>Présence panneau d'infos réglementaires du site de baignade:</b> Présence	<b>Fréquentation au moment du prélèvement:</b> Nulle
<b>Couleur:</b> Anormale	<b>Huiles minérales:</b> Absence	<b>Phéno:</b> Présence
<b>Mousses:</b> Absence	<b>Etat du plan d'eau:</b> Calme	<b>Conditions météorologiques pendant le prélèvement:</b> Couvert
<b>Conditions météorologiques la veille du prélèvement:</b> Couvert	<b>Déchets dans l'eau:</b> Absence	<b>Déchets sur la plage:</b> Absence
<b>Propreté de la plage:</b> Satisfaisant	<b>Direction du vent:</b> Nord	<b>Force du vent:</b> Calme
<b>Présence d'animaux:</b> Absence	<b>Résidus goudronneux et matières flottantes:</b> Absence	<b>Efflorescences algales:</b> Absence

## Résultats d'analyses

	Méthode	Résultat	Unité	Limites de Qualité	Références de Qualité
<b>Microbiologie</b>					
<b>Paramètre laboratoire</b>					
Entérocoques intestinaux (NPP)	NF EN ISO 7899-1	260	NPP/100mL		
Escherichia coli	NF EN ISO 9308-3	160	NPP/100mL		
<b>Cyanobactéries - dénombrement</b>					
Nombre de cellules total	Méthode interne	71 769	cellules/mL		
Biovolume total	Méthode interne	2,92118	mm3/L		
Nombre de cellules toxigènes	Méthode interne	61 356,6	cellules/mL		
<b>Biovolume toxigène</b>	<b>Méthode interne</b>	<b>2,83121</b>	<b>mm3/L</b>	<b>1</b>	<b>X</b>
<b>Cyanobactéries - Identification (nombre)</b>					
Aphanizomenon (T)(P) - Nombre de cellules	Méthode interne	9 084,69	cellules/mL		
Cylindrospermopsis (T)(P) - Nombre de cellules	Méthode interne	4 542,34	cellules/mL		
Limnothrix (T)(P) - Nombre de cellules	Méthode interne	29 699,93	cellules/mL		
Planktothrix (T)(P) - Nombre de cellules	Méthode interne	18 029,61	cellules/mL		
Aphanothece (P) - Nombre de cellules	Méthode interne	8 053,92	cellules/mL		
Synechocystis (P) - Nombre de cellules	Méthode interne	2 358,52	cellules/mL		
<b>Cyanobactéries - Identification (biovolume)</b>					
Aphanizomenon (T)(P) - Biovolume	Méthode interne	0,6541	mm3/L		
Cylindrospermopsis (T)(P) - Biovolume	Méthode interne	0,31887	mm3/L		
Limnothrix (T)(P) - Biovolume	Méthode interne	0,9207	mm3/L		
Planktothrix (T)(P) - Biovolume	Méthode interne	0,93754	mm3/L		
Aphanothece (P) - Biovolume	Méthode interne	0,08054	mm3/L		
Synechocystis (P) - Biovolume	Méthode interne	0,00943	mm3/L		
<b>Physico-chimie</b>					
<b>Paramètres terrain</b>					
Turbidité (méthode semi-quantitative)*	NF EN ISO 7027	2	m		
<b>Paramètres laboratoire</b>					
Conductivité à 25°C*	NF EN 27888	949	µS/cm		

Température de mesure de la conductivité	THERMOMETRIE	21,51	°C
Oxygène dissous	NF ISO 17289	7,2	mg/L
pH*	NF EN ISO 10523	7,9	u.pH
Température de mesure du pH	THERMOMETRIE	21,51	°C
<b>Paramètres Physico-chimie</b>			
Azote Kjeldahl*	NF EN 25663	1,4	mg N/L
Chlorophylle A*	NF T 90-117	30	µg/l
Phéopigments*	NF T 90-117	33	µg/l
<b>Anions</b>			
Nitrates*	NF ISO 15923-1	< 0,2	mg/L
Nitrites*	NF ISO 15923-1	0,02	mg/L
Phosphates*	NF EN ISO 10304-1	< 0,1	mg/L
<b>Cations</b>			
Ammonium*	NF EN ISO 14911	0,065	mg/L
<b>Monorésidus spécifiques</b>			
Couleur*	MOC3353	16	mg/L Pt

Détail des paramètres analysés et des méthodes utilisées en page(s) suivante(s)

## Légende

ND = Non détecté ; D = Détecté ; LQ = Limite de Quantification ; LD = Limite de Détection ; NA = Non Analysé ; NQ = Non Quantifiable ; NI = Non Interprétable ; N.M. = Non mesuré ; EC = Exclu par Criblage

Méthodes utilisées mentionnées en page(s) suivante(s) :

MOC3231(S2) : Recherche et dénombrement des Escherichia coli dans les eaux de surface et les eaux résiduaires. Méthode (NPP) miniaturisée par ensemencement en milieu liquide.

MOC3233(S2) : Recherche et dénombrement des Entérocoques intestinaux dans les eaux de surface et les eaux résiduaires. Méthode (NPP) miniaturisée par ensemencement en milieu liquide.

MOC3277(S2) : Dénombrement et identification des cyanobactéries dans les eaux, par sédimentation et microscopie inversée (Utermöhl). Classification des cyanobactéries : (T) = Toxique - (B) = Benthique - (P) = Planctonique

MOC3313(S2) : Dosage des anions par chromatographie ionique.

MOC3314(S2) : Dosage des cations par chromatographie ionique.

MOC3316(S2) : Détermination de la conductivité électrique (avec compensation automatique de la température).

MOC3317(S2) : Détermination du pH.

MOC3337(S2) : Analyse des paramètres (Ammonium, chrome VI, nitrites, nitrates, chlorures, sulfates, phosphates, fluorures et silicates dissous) par détection photométrique.

MOC3350(S2) : Dosage de l'azote par l'azote Kjeldahl après minéralisation au sélénium.

MOC3353(S2) : Détermination de la couleur.

MOC3362(S2) : Détermination de la turbidité par méthode semi-quantitative (disque Secchi).

MOC3373(S2) : Dosage de la chlorophylle-a et des phéopigments dans l'eau: méthode de Lorenzen.

MOC3645(S2) : Dosage de l'oxygène dissous - méthode optique à la sonde.

(S2) : analyse réalisée par Phytocontrol laboratoire d'analyses - 70 allée Graham Bell - Parc Georges Besse - 30035 NIMES

✓ Paramètre respectant les limites et références de qualité réglementaires.

✗ Paramètre ne respectant pas les limites ou références de qualité réglementaires.

## Commentaires

Avis de l'Anses de Mai 2020 : Évaluation des risques liés aux cyanobactéries et leurs toxines dans les eaux douces.

Pour les paramètres analysés, l'échantillon ne respecte pas les limites de qualité réglementaires.

### EAU DE BAINNADE

Selon la note de l'instruction de la DGS N°DGS/EA4/EA3/2021/76 pour les eaux de baignade :

En cas de dépassement du seuil de 10 µg/L en chlorophylle a, une identification des cyanobactéries présentes dans l'eau sera réalisée.

Si la présence de genres potentiellement toxigènes est identifiée, les cyanobactéries seront alors dénombrées (les résultats sont exprimés en biovolumes) :

Pas d'alerte si somme des biovolumes cyanobactéries ≤ 1 mm<sup>3</sup>/L

Alerte niveau 1 si somme des biovolumes cyanobactéries > 1 mm<sup>3</sup>/L et pas de dépassement des seuils des toxines : Recherche des toxines et maintien d'une activité normale sur le site. Information du public.

Alerte niveau 2 si somme des biovolumes cyanobactéries > 1 mm<sup>3</sup>/L ET dépassement d'un des seuils suivants des toxines :

Microcystine > 0,3 µg/L

Saxitoxine > 30 µg/L

Cylindrospermopsine > 42 µg/L

Anatoxine > LD

Baignade interdite, information au public, restriction des activités nautiques, recommandation de non consommation de poissons.

Pour les paramètres Escherichia coli, entérocoques intestinaux. Le délai de mise en analyse est supérieur aux préconisations des normes en vigueur. Evolution possible de la flore bactérienne. Résultats rendus hors accréditation.

Selon le rapport de l'ANSES sur l'évaluation des risques liés aux cyanobactéries et leurs toxines dans les eaux douces (Mai 2020), en cas de dépassement du seuil de 10 µg/L en Chlorophylle-A, une identification des cyanobactéries présentes dans l'eau sera réalisée. Si la présence de genres potentiellement toxigènes est identifiée, les cyanobactéries seront alors dénombrées.

## Signature

L'actualisation des données réglementaires est assurée par notre Service Veille Réglementaire dans le respect des dates de mise en application des textes européens ou autres référentiels publiés.

Rapport validé par :

Sandro VITALINO  
Validation Analytique



- Ce certificat produit et validé électroniquement fait foi. Le nom et la fonction des responsables sur ce document ont été produits sur base d'une procédure protégée et personnalisée. Une version papier de ce document paraphé peut être obtenue sur simple demande.
- Les résultats d'analyse ne concernent que les objets soumis à l'analyse.
- Dans le cas où les prélèvements ne sont pas réalisés par le laboratoire, les résultats s'appliquent à l'échantillon tel qu'il a été reçu.
- La reproduction de ce rapport n'est autorisée que sous sa forme intégrale.
- Seules certaines prestations rapportées dans ce document sont couvertes par l'accréditation. Elles sont identifiées par le symbole \*.
- Pour évaluer le respect des Limites et des Références de Qualité, il n'a pas été pris en compte l'incertitude de mesure.
- Les commentaires ne sont pas couverts par l'accréditation (sauf mention contraire).
- Phytocontrol est agréé par l'AFSCA, habilité par l'INAO, le BNN et le QS et est certifié ISO 14001 par l'Afnor.
- Laboratoire agréé pour la réalisation des prélèvements et des analyses terrains et/ou des analyses des paramètres du contrôle sanitaire des eaux. Portée détaillée de l'agrément disponible sur demande.
- Laboratoire agréé par le ministre chargé de l'environnement, se reporter à la liste des laboratoires sur le site internet de gestion des agréments du ministère chargé de l'environnement.
- Laboratoire agréé par l'Autorité de sûreté nucléaire pour les mesures de radioactivité de l'environnement – portée détaillée de l'agrément disponible sur le site Internet de l'Autorité de sûreté nucléaire
- Le laboratoire n'est pas responsable des données fournies par le client qui pourraient affecter la validité des résultats. Elles sont identifiées par le symbole #.

## Microbiologie

### Paramètre laboratoire

Unité ↓ : NPP/100mL	Résultat	LQ	Méthode
Entérocoques intestinaux (NPP)	260		MOC3233
Escherichia coli	160		MOC3231

### Cyanobactéries - dénombrement

Unité ↓ : cellules/mL	Résultat	LQ	Méthode
Nombre de cellules total	71769		MOC3277
Nombre de cellules toxigènes	61356,6		MOC3277

Unité ↓ : mm3/L	Résultat	LQ	Méthode
Biovolume total	2,92118		MOC3277
Biovolume toxigène	2,83121		MOC3277

### Cyanobactéries - Identification (nombre)

Unité ↓ : cellules/mL	Résultat	LQ	Méthode
Alternantia (T)(B) - Nombre de cellules	Absence		MOC3277
Anabaena (T)(P) - Nombre de cellules	Absence		MOC3277
Aphanizomenon (T)(P) - Nombre de cellules	9084,69		MOC3277
Aphanocapsa (T)(P) - Nombre de cellules	Absence		MOC3277
Calothrix (T)(P) - Nombre de cellules	Absence		MOC3277
Cyanocystis (T)(B) - Nombre de cellules	Absence		MOC3277
Cyanophanon (T)(B) - Nombre de cellules	Absence		MOC3277
Cylindrospermopsis (T)(P) - Nombre de cellules	4542,34		MOC3277
Cylindrospermum (T)(P) - Nombre de cellules	Absence		MOC3277
Dzemia (T)(B) - Nombre de cellules	Absence		MOC3277
Fischerella (T)(P) - Nombre de cellules	Absence		MOC3277
Gomontiella (T)(B) - Nombre de cellules	Absence		MOC3277
Hapalosiphon (T)(P) - Nombre de cellules	Absence		MOC3277
Iyngariella (T)(B) - Nombre de cellules	Absence		MOC3277
Limnothrix (T)(P) - Nombre de cellules	29699,93		MOC3277

Unité ↓ : cellules/mL	Résultat	LQ	Méthode	Unité ↓ : cellules/mL	Résultat	LQ	Méthode
Lyngbya (T)(P) - Nombre de cellules	Absence		MOC3277	Anabaenopsis (P) - Nombre de cellules	Absence		MOC3277
Marssoniella (T)(B) - Nombre de cellules	Absence		MOC3277	Aphanothece (P) - Nombre de cellules	8053,92		MOC3277
Mastigocladopsis (T)(B) - Nombre de cellules	Absence		MOC3277	Bacularia (B) - Nombre de cellules	Absence		MOC3277
Mastigocoleus (T)(B) - Nombre de cellules	Absence		MOC3277	Baradlaia (B) - Nombre de cellules	Absence		MOC3277
Merismopedia (T)(P) - Nombre de cellules	Absence		MOC3277	Borzia (B) - Nombre de cellules	Absence		MOC3277
Microcoleus (T)(P) - Nombre de cellules	Absence		MOC3277	Borzinema (B) - Nombre de cellules	Absence		MOC3277
Microcystis (T)(P) - Nombre de cellules	Absence		MOC3277	Brachytrichopsis (B) - Nombre de cellules	Absence		MOC3277
Nodularia (T)(P) - Nombre de cellules	Absence		MOC3277	Capsosira (B) - Nombre de cellules	Absence		MOC3277
Nostoc (T)(P) - Nombre de cellules	Absence		MOC3277	Chamaesiphon (B) - Nombre de cellules	Absence		MOC3277
Oscillatoria (spirulina) (T)(P) - Nombre de cellules	Absence		MOC3277	Chlorogloea (B) - Nombre de cellules	Absence		MOC3277
Planktothrix (T)(P) - Nombre de cellules	18029,61		MOC3277	Chroococcidiopsis (B) - Nombre de cellules	Absence		MOC3277
Plectonema (T)(B) - Nombre de cellules	Absence		MOC3277	Chroococcopsis (B) - Nombre de cellules	Absence		MOC3277
Pseudanabaena (T)(P) - Nombre de cellules	Absence		MOC3277	Chroococcus (P) - Nombre de cellules	Absence		MOC3277
Radiocystis (T)(P) - Nombre de cellules	Absence		MOC3277	Clastidium (B) - Nombre de cellules	Absence		MOC3277
Raphidiopsis (T)(P) - Nombre de cellules	Absence		MOC3277	Coelomoron (P) - Nombre de cellules	Absence		MOC3277
Scytonema (T)(P) - Nombre de cellules	Absence		MOC3277	Coelosphaerium (P) - Nombre de cellules	Absence		MOC3277
Siphonema (T)(B) - Nombre de cellules	Absence		MOC3277	Coleodesmium (B) - Nombre de cellules	Absence		MOC3277
Stigonema (T)(B) - Nombre de cellules	Absence		MOC3277	Colteronema (B) - Nombre de cellules	Absence		MOC3277
Symphonema (T)(B) - Nombre de cellules	Absence		MOC3277	Crinalium (B) - Nombre de cellules	Absence		MOC3277
Symphonemopsis (T)(B) - Nombre de cellules	Absence		MOC3277	Cyanostylon (B) - Nombre de cellules	Absence		MOC3277
Thalpophila (T)(B) - Nombre de cellules	Absence		MOC3277	Dermocarpa (B) - Nombre de cellules	Absence		MOC3277
Tolypothrix (T)(B) - Nombre de cellules	Absence		MOC3277	Desmosiphon (B) - Nombre de cellules	Absence		MOC3277
Tryponema (T)(B) - Nombre de cellules	Absence		MOC3277	Dolioscatella (B) - Nombre de cellules	Absence		MOC3277
Westiella (T)(B) - Nombre de cellules	Absence		MOC3277	Entophysalis (B) - Nombre de cellules	Absence		MOC3277
Westiellopsis (T)(B) - Nombre de cellules	Absence		MOC3277	Eucaopsis (P) - Nombre de cellules	Absence		MOC3277
Woronichinia (T)(P) - Nombre de cellules	Absence		MOC3277	Geillera (B) - Nombre de cellules	Absence		MOC3277
Albrightia (B) - Nombre de cellules	Absence		MOC3277	Gloeocapsa (P) - Nombre de cellules	Absence		MOC3277
Ammatoidea (B) - Nombre de cellules	Absence		MOC3277				

Unité ↓ : cellules/mL	Résultat	LQ	Méthode	Unité ↓ : cellules/mL	Résultat	LQ	Méthode	Unité ↓ : mm3/L	Résultat	LQ	Méthode
Gloeotheca (B) - Nombre de cellules	Absence		MOC3277	Porphyrosiphon (B) - Nombre de cellules	Absence		MOC3277	Aphanocapsa (T)(P) - Biovolume	-		MOC3277
Gloeotrichia (P) - Nombre de cellules	Absence		MOC3277	Pseudospelaeopogon (B) - Nombre de cellules	Absence		MOC3277	Calothrix (T)(P) - Biovolume	-		MOC3277
Gomphosphaeria (P) - Nombre de cellules	Absence		MOC3277	Pulvinularia (B) - Nombre de cellules	Absence		MOC3277	Cyanocystis (T)(B) - Biovolume	-		MOC3277
Handeliella (B) - Nombre de cellules	Absence		MOC3277	Rhodostichus (B) - Nombre de cellules	Absence		MOC3277	Cyanophanon (T)(B) - Biovolume	-		MOC3277
Herpyzonema (B) - Nombre de cellules	Absence		MOC3277	Rivularia (P) - Nombre de cellules	Absence		MOC3277	Cylindrospermopsis (T) (P) - Biovolume	0,31887		MOC3277
Homoeoptycha (B) - Nombre de cellules	Absence		MOC3277	Romeria (P) - Nombre de cellules	Absence		MOC3277	Cylindrospermum (T)(P) - Biovolume	-		MOC3277
Homoeothrix (P) - Nombre de cellules	Absence		MOC3277	Sacconema (B) - Nombre de cellules	Absence		MOC3277	Dzemia (T)(B) - Biovolume	-		MOC3277
Hydrococcus (B) - Nombre de cellules	Absence		MOC3277	Schizothrix (P) - Nombre de cellules	Absence		MOC3277	Fischerella (T)(P) - Biovolume	-		MOC3277
Hydrocoryne (B) - Nombre de cellules	Absence		MOC3277	Schmidleinema (B) - Nombre de cellules	Absence		MOC3277	Gomontiella (T)(B) - Biovolume	-		MOC3277
Hyella (B) - Nombre de cellules	Absence		MOC3277	Scytonematopsis (B) - Nombre de cellules	Absence		MOC3277	Hapalosiphon (T)(P) - Biovolume	-		MOC3277
Hypomorpha (B) - Nombre de cellules	Absence		MOC3277	Seguenzaea (B) - Nombre de cellules	Absence		MOC3277	Iyengariella (T)(B) - Biovolume	-		MOC3277
Isocystis (B) - Nombre de cellules	Absence		MOC3277	Sinaiella (B) - Nombre de cellules	Absence		MOC3277	Limnithrix (T)(P) - Biovolume	0,9207		MOC3277
Johannesbaptista (B) - Nombre de cellules	Absence		MOC3277	Snowella (P) - Nombre de cellules	Absence		MOC3277	Lyngbya (T)(P) - Biovolume	-		MOC3277
Leptopogon (B) - Nombre de cellules	Absence		MOC3277	Sokolovia (B) - Nombre de cellules	Absence		MOC3277	Marssoniella (T)(B) - Biovolume	-		MOC3277
Letestuinema (B) - Nombre de cellules	Absence		MOC3277	Spelaeopogon (B) - Nombre de cellules	Absence		MOC3277	Mastigocladopsis (T)(B) - Biovolume	-		MOC3277
Lithococcus (B) - Nombre de cellules	Absence		MOC3277	Stichosiphon (B) - Nombre de cellules	Absence		MOC3277	Mastigocoleus (T)(B) - Biovolume	-		MOC3277
Loefgrenia (B) - Nombre de cellules	Absence		MOC3277	Synechococcus (P) - Nombre de cellules	Absence		MOC3277	Merismopedia (T)(P) - Biovolume	-		MOC3277
Loriella (B) - Nombre de cellules	Absence		MOC3277	Synechocystis (P) - Nombre de cellules	2358,52		MOC3277	Microcoleus (T)(P) - Biovolume	-		MOC3277
Mastigocladus (B) - Nombre de cellules	Absence		MOC3277	Tetracus (B) - Nombre de cellules	Absence		MOC3277	Microcystis (T)(P) - Biovolume	-		MOC3277
Mastigocoleopsis (B) - Nombre de cellules	Absence		MOC3277	Tubiella (B) - Nombre de cellules	Absence		MOC3277	Nodularia (T)(P) - Biovolume	-		MOC3277
Microchaete (B) - Nombre de cellules	Absence		MOC3277	Voukiella (B) - Nombre de cellules	Absence		MOC3277	Nostoc (T)(P) - Biovolume	-		MOC3277
Myxosarcina (B) - Nombre de cellules	Absence		MOC3277	Wollea (B) - Nombre de cellules	Absence		MOC3277	Oscillatoria (spirulina) (T) (P) - Biovolume	-		MOC3277
Nostochopsis (B) - Nombre de cellules	Absence		MOC3277	Wolskyella (B) - Nombre de cellules	Absence		MOC3277	Planktothrix (T)(P) - Biovolume	0,93754		MOC3277
Onkonema (B) - Nombre de cellules	Absence		MOC3277	<b>Cyanobactéries - Identification (biovolume)</b>				Plectonema (T)(B) - Biovolume	-		MOC3277
Palikiella (B) - Nombre de cellules	Absence		MOC3277	<b>Unité ↓ : mm3/L</b>	<b>Résultat</b>	<b>LQ</b>	<b>Méthode</b>	Pseudanabaena (T)(P) - Biovolume	-		MOC3277
Pascherinema (B) - Nombre de cellules	Absence		MOC3277	Alternantia (T)(B) - Biovolume	-		MOC3277	Radiocystis (T)(P) - Biovolume	-		MOC3277
Planktolynghya (P) - Nombre de cellules	Absence		MOC3277	Anabaena (T)(P) - Biovolume	-		MOC3277	Raphidiopsis (T)(P) - Biovolume	-		MOC3277
Pleurocapsa (B) - Nombre de cellules	Absence		MOC3277	Aphanizomenon (T)(P) - Biovolume	0,6541		MOC3277				

Unité ↓ : mm3/L	Résultat	LQ	Méthode	Unité ↓ : mm3/L	Résultat	LQ	Méthode	Unité ↓ : mm3/L	Résultat	LQ	Méthode
Scytonema (T)(P) - Biovolume	-		MOC3277	Coelosphaerium (P) - Biovolume	-		MOC3277	Loefgrenia (B) - Biovolume	-		MOC3277
Siphononema (T)(B) - Biovolume	-		MOC3277	Coleodesmium (B) - Biovolume	-		MOC3277	Loriella (B) - Biovolume	-		MOC3277
Stigonema (T)(B) - Biovolume	-		MOC3277	Colteronema (B) - Biovolume	-		MOC3277	Mastigocladus (B) - Biovolume	-		MOC3277
Symphyonema (T)(B) - Biovolume	-		MOC3277	Crinalium (B) - Biovolume	-		MOC3277	Mastigocoleopsis (B) - Biovolume	-		MOC3277
Symphyonemopsis (T)(B) - Biovolume	-		MOC3277	Cyanostylon (B) - Biovolume	-		MOC3277	Microchaete (B) - Biovolume	-		MOC3277
Thalpopihila (T)(B) - Biovolume	-		MOC3277	Dermocarpa (B) - Biovolume	-		MOC3277	Myxoscargina (B) - Biovolume	-		MOC3277
Tolypothrix (T)(B) - Biovolume	-		MOC3277	Desmosiphon (B) - Biovolume	-		MOC3277	Nostochopsis (B) - Biovolume	-		MOC3277
Tryponema (T)(B) - Biovolume	-		MOC3277	Doliocattella (B) - Biovolume	-		MOC3277	Onkonema (B) - Biovolume	-		MOC3277
Westiella (T)(B) - Biovolume	-		MOC3277	Entophysalis (B) - Biovolume	-		MOC3277	Palikiella (B) - Biovolume	-		MOC3277
Westiellopsis (T)(B) - Biovolume	-		MOC3277	Eucapsis (P) - Biovolume	-		MOC3277	Pascherinema (B) - Biovolume	-		MOC3277
Woronichinia (T)(P) - Biovolume	-		MOC3277	Geillera (B) - Biovolume	-		MOC3277	Planktolyngbya (P) - Biovolume	-		MOC3277
Albrightia (B) - Biovolume	-		MOC3277	Gloeocapsa (P) - Biovolume	-		MOC3277	Pleurocapsa (B) - Biovolume	-		MOC3277
Ammatoidea (B) - Biovolume	-		MOC3277	Gloeotheca (B) - Biovolume	-		MOC3277	Porphyrosiphon (B) - Biovolume	-		MOC3277
Anabaenopsis (P) - Biovolume	-		MOC3277	Gloeotrichia (P) - Biovolume	-		MOC3277	Pseudospelaeopogon (B) - Biovolume	-		MOC3277
Aphanothece (P) - Biovolume	0,08054		MOC3277	Gomphosphaeria (P) - Biovolume	-		MOC3277	Pulvinularia (B) - Biovolume	-		MOC3277
Bacularia (B) - Biovolume	-		MOC3277	Handeliella (B) - Biovolume	-		MOC3277	Rhodostichus (B) - Biovolume	-		MOC3277
Baradlaia (B) - Biovolume	-		MOC3277	Herpyzonema (B) - Biovolume	-		MOC3277	Rivularia (P) - Biovolume	-		MOC3277
Borzia (B) - Biovolume	-		MOC3277	Homoeoptycha (B) - Biovolume	-		MOC3277	Romeria (P) - Biovolume	-		MOC3277
Borzinema (B) - Biovolume	-		MOC3277	Homoeothrix (P) - Biovolume	-		MOC3277	Sacconema (B) - Biovolume	-		MOC3277
Brachytrichiopsis (B) - Biovolume	-		MOC3277	Hydrococcus (B) - Biovolume	-		MOC3277	Schizothrix (P) - Biovolume	-		MOC3277
Capsosira (B) - Biovolume	-		MOC3277	Hydrocoryne (B) - Biovolume	-		MOC3277	Schmidleinema (B) - Biovolume	-		MOC3277
Chamaesiphon (B) - Biovolume	-		MOC3277	Hyella (B) - Biovolume	-		MOC3277	Scytonematopsis (B) - Biovolume	-		MOC3277
Chlorogloea (B) - Biovolume	-		MOC3277	Hyphomorpha (B) - Biovolume	-		MOC3277	Seguenzaea (B) - Biovolume	-		MOC3277
Chroococcidiopsis (B) - Biovolume	-		MOC3277	Isocystis (B) - Biovolume	-		MOC3277	Sinaiella (B) - Biovolume	-		MOC3277
Chroococcopsis (B) - Biovolume	-		MOC3277	Johannesbaptista (B) - Biovolume	-		MOC3277	Snowella (P) - Biovolume	-		MOC3277
Chroococcus (P) - Biovolume	-		MOC3277	Leptopogon (B) - Biovolume	-		MOC3277	Sokolovia (B) - Biovolume	-		MOC3277
Clastidium (B) - Biovolume	-		MOC3277	Letestuinema (B) - Biovolume	-		MOC3277	Spelaeopogon (B) - Biovolume	-		MOC3277
Coelomoron (P) - Biovolume	-		MOC3277	Lithococcus (B) - Biovolume	-		MOC3277	Stichosipon (B) - Biovolume	-		MOC3277

Unité ↓ : mm3/L	Résultat	LQ	Méthode
Synechococcus (P) - Biovolume	-		MOC3277
Synechocystis (P) - Biovolume	0,00943		MOC3277
Tetrarcus (B) - Biovolume	-		MOC3277
Tubiella (B) - Biovolume	-		MOC3277
Voukiella (B) - Biovolume	-		MOC3277
Wollea (B) - Biovolume	-		MOC3277
Wolskyella (B) - Biovolume	-		MOC3277

## Physico-chimie

### Paramètres terrain

Unité ↓ : m	Résultat	LQ	Méthode
Turbidité (méthode semi-quantitative)*	2	0,01	MOC3362

### Paramètres laboratoire

Unité ↓ : µS/cm	Résultat	LQ	Méthode
Conductivité à 25°C*	949	5	MOC3316

Unité ↓ : mg/L	Résultat	LQ	Méthode
Oxygène dissous	7,2	0,5	MOC3645

Unité ↓ : u.pH	Résultat	LQ	Méthode
pH*	7,9	4	MOC3317

Unité ↓ : °C	Résultat	LQ	Méthode
Température de mesure de la conductivité	21,51		MOC3316
Température de mesure du pH	21,51		MOC3317

### Paramètres Physico-chimie

Unité ↓ : mg N/L	Résultat	LQ	Méthode
Azote Kjeldahl*	1,4	0,5	MOC3350

Unité ↓ : µg/l	Résultat	LQ	Méthode
Chlorophylle A*	30	1	MOC3373
Phéopigments*	33	1	MOC3373

### Anions

Unité ↓ : mg/L	Résultat	LQ	Méthode
Nitrates*	< 0,2	0,2	MOC3337
Nitrites*	0,02	0,02	MOC3337
Phosphates*	< 0,1	0,1	MOC3313

### Cations

Unité ↓ : mg/L	Résultat	LQ	Méthode
Ammonium*	0,065	0,05	MOC3314

Unité ↓ : mg/L Pt	Résultat	LQ	Méthode
Couleur*	16	5	MOC3353